

## 지르코니아 세라믹의 열수 상 안정성

이득용<sup>†</sup> · George A. Gogotsi\* · 김대준\*\* · 박노진\*\*\*

대림대학 재료정보공학과

\*Institute for Problems of Strength, National Academy of Sciences of Ukraine

\*\*한국과학기술연구원 복합기능세라믹센터

\*\*\*금오공과대학교 재료공학과

(2001년 11월 26일 접수; 2001년 12월 28일 승인)

## Hydrothermal Stability of Zirconia Ceramics

Deuk Yong Lee<sup>†</sup>, George A. Gogotsi\*, Dae-Joon Kim\*\* and No-Jin Park\*\*\*

Department of Materials Engineering, Daelim College of Technology, Anyang 431-715, Korea

\*Institute for Problems of Strength, National Academy of Sciences of Ukraine, Kiev 252014, Ukraine

\*\*Multifunctional Ceramics Research Center, KIST, Seoul 136-650, Korea

\*\*\*Department of Materials Engineering, Kumho National University of Technology, Kumi 730-701, Korea

(Received November 26, 2001; Accepted December 28, 2001)

### 초 톡

3Y-TZP에 희토류 산화물( $\text{CeO}_2$ ,  $\text{Tb}_2\text{O}_3$ )을 0.5% 이하로 첨가시킨 지르코니아 단결정을 skull melting법으로 제조하여 오토클레이브 하에서 열수 상 안정성을 조사하였다. 극점도 측정결과, skull melting법으로 제조한  $\text{CeO}_2$ 와  $\text{Tb}_2\text{O}_3$ 가 첨가된 시편들은 단결정이었으며 150~250°C에서 5시간 수증기 분위기 하에서 열처리한 후에도 정방정 상이 유지되는 우수한 열수 상 안정성이 관찰되었다.

### ABSTRACT

3 mol%  $\text{Y}_2\text{O}_3$  Partially-Stabilized Zirconia single Crystals (PSZCs) containing a small quantity (< 0.5%) of rare-earth oxides ( $\text{CeO}_2$ ,  $\text{Tb}_2\text{O}_3$ ) were prepared by using a direct high-frequency skull melting technique to evaluate hydrothermal stability in an autoclave. Pole figure measurements indicate that both  $\text{CeO}_2$  and  $\text{Tb}_2\text{O}_3$  containing specimens prepared by the skull melting are single crystals. PSZCs exhibited no  $t \rightarrow m$  phase transformation during aging for 5 h at temperatures from 150 to 250°C and 4 MPa water vapor pressure in an autoclave, resulting in excellent hydrothermal stability.

**Key words :** Zirconia, Skull melting, Single crystal, Hydrothermal stability

### 1. 서 론

$\text{Y}_2\text{O}_3$ 가 첨가된 안정화 정방정 지르코니아(Y-TZP)는 파괴강도 및 R-curve 거동등의 우수한 기계적 특성을 가지고 있다.<sup>1-3)</sup> 하지만, 상용 3 mol%  $\text{Y}_2\text{O}_3$ 가 첨가된 TZP(3Y-TZP)는 저온에서 (100~400°C)에서 장시간 사용 시 정방정에서 단사정으로 상 전이에 의한 강도가 저하되는 저온열화의 문제점을 갖고 있다.<sup>4)</sup> 3Y-TZP의 저온열화 현상은 물 속에서 산소공급의 확산에 의한 내부응력의 축적으로 인하여 더욱 가속화된다. 일반적으로, 저온열화를 억제하는 방법은 세가지가 있다고 발표되었다. 첫 번째는 결정립 크기를 작게하는 것이고, 두 번째는 안정화제의 양을 증가시키는 것이고 마지막으로는 복합체를 제조하는 방법이다.<sup>4,5)</sup> 하지만,

위 세가지 방법은 상 변태가 억제되는 대신 파괴인성이 감소하는 문제점을 가지고 있다.

$\text{Y}_2\text{O}_3$ 와  $\text{Nb}_2\text{O}_5$ 의 산화물을 적절히 첨가한 TZP((Y,Nb)-TZP)는 우수한 상 안정성 및 인성값을 갖는다고 보고되었다.<sup>7)</sup> (Y,Nb)-TZP의 저온열화 억제는 scheelite 구조를 가진 정방정 지르코니아의 국부적 Y-Nb ordering이 일어나고 3가와 5가 산화물의 적절한 첨가로 인한 산소공급의 수 감소로 인한 정방정 격자내의 내부 응력을 감소시킴으로써 일어나는 것으로 발표되었다.<sup>8-10)</sup> 하지만, 강도값을 증진시키고자  $\text{Al}_2\text{O}_3$ 를 첨가한 (Y,Nb)-TZP/ $\text{Al}_2\text{O}_3$  복합체의 강도값이 700 MPa로 상용 3Y-TZP의 850 MPa의 강도값 보다 작은 문제점을 갖고 있다.<sup>11)</sup> 따라서, 기계적 특성의 저하없이 상 안정성을 유지하는 새로운 제조공법의 도입이 요구된다.

최근 제조공정의 발달은 지르코니아 단결정을 skull

<sup>†</sup>Corresponding author : dylee@daelim.ac.kr

melting법을 이용하여 가능하게 하였다.<sup>12)</sup> 특히, 지르코니아 단결정의 기계적 특성은 Y-PSZ(Partially Stabilized Zirconia)에 회토류 산화물의 0.01~0.5% 첨가 시 결정입체가 존재하지 않으므로 더욱 증가 된다고 보고되었다.<sup>12-14)</sup> 따라서, 본 연구에서는 기준의 3Y-TZP, 3Y-TZP/ $\text{Al}_2\text{O}_3$ , (Y,Nb)-TZP, (Y,Nb)-TZP/ $\text{Al}_2\text{O}_3$ , 0.3 mol%  $\text{CeO}_2$ 가 첨가된 PSZC(Y-Ce-PSZC), 0.3 mol%  $\text{Tb}_2\text{O}_3$ 가 첨가된 PSZC(Y-Tb-PSZC)를 150°C~250°C의 온도범위에서 4 MPa의 오토클레이브 조건 하에서 5시간 열처리를 한 후 열수 상 안정성을 조사하였다.<sup>16)</sup>

## 2. 실험방법

TZP, TZP/ $\text{Al}_2\text{O}_3$  복합체, Y-Ce-PSZC, Y-Tb-PSZC의 제조방법은 본 논문 저자들의 참고문헌에 자세히 기술된 것에 따라 제조하였다.<sup>7,8,10-14)</sup> TZP 및 TZP/ $\text{Al}_2\text{O}_3$  복합체의 성형체는 1550°C에서 2시간 상압 소결하였다. 다결정 및 단결정 시편 제조 시 출발물질은 고순도 시약을 사용하였다. 시편의 열수 상 안정성은 4 MPa 수증기 압력의 오토클레이브에서 150, 200, 250°C의 각각의 온도에서 5시간 열처리 하였다. 열처리 후의 시편은 X-선 회절분석기를 이용하여 상분석을 행하였으며 단사정 상분율은 Garvie와 Nicholson<sup>15)</sup>이 제안한 방법에 의거 결정하였다. 단결정을 조사하기 위한 극점도(pole figure) 측정은 Bruker-D5005 automatic texture goniometer를 이용하여 5° 간격으로 70°까지 tilting을 하면서 행하였다. 소결체 미세구조는 소결온도 보다 50°C 낮은 온도에서 12분간 에칭한 후 전자현미경을 이용하여 관찰하였다.

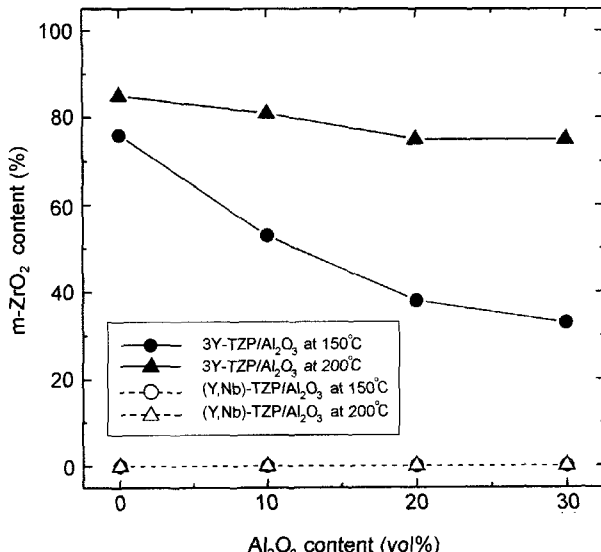


Fig. 1. Influence of  $\text{Al}_2\text{O}_3$  content on the extent of  $t \rightarrow m$  phase transformation of 3Y-TZP and (Y,Nb)-TZP after aging for 5 h at 4 MPa water vapor pressure in an autoclave.

## 3. 결과 및 고찰

TZP와 TZP/ $\text{Al}_2\text{O}_3$  복합체의 열수 상 안정성 실험 결과가 Fig. 1에 나타나 있다. (Y,Nb)-TZP와 (Y,Nb)-TZP/ $\text{Al}_2\text{O}_3$  복합체는 4 MPa, 200°C의 오토클레이브에서 5시간 열처리를 하여도 정방정에서 단사정으로 상 전이가 관찰되지 않았다. 하지만, 3Y-TZP와 3Y-TZP/ $\text{Al}_2\text{O}_3$  복합체는 거의 모든 정방정 상이 단사정으로 상 전이가 발생하였다. (Y,Nb)-TZP의 상 안정성은 정방정 지르코니아 격자내의 Y-Nb ordering<sup>7,9)</sup>과 3가와 5가 산화물의 적절한 첨가로 인한 산소공공의 수감소로 인한 내부응력의 감소로 이루어진 것으로 보고되었다.<sup>10)</sup> 또한, (Y,Nb)-TZP의 정방정 지르코니아의 결정립 크기는 알루미나가 첨가됨에 따라 감소하므로 강성의 알루미나 입자에 의한 정방정 결정립 크기의 억제 효과도 상 안정성에 기여하는 것으로 보고되었다.<sup>11,17,18)</sup> 열처리 온도가 150°C일 때 강성의  $\text{Al}_2\text{O}_3$  입자의 첨가로 인하여 정방정 지르코니아 격자의 이완을 제어하여 3Y-TZP의 저온열화를 억

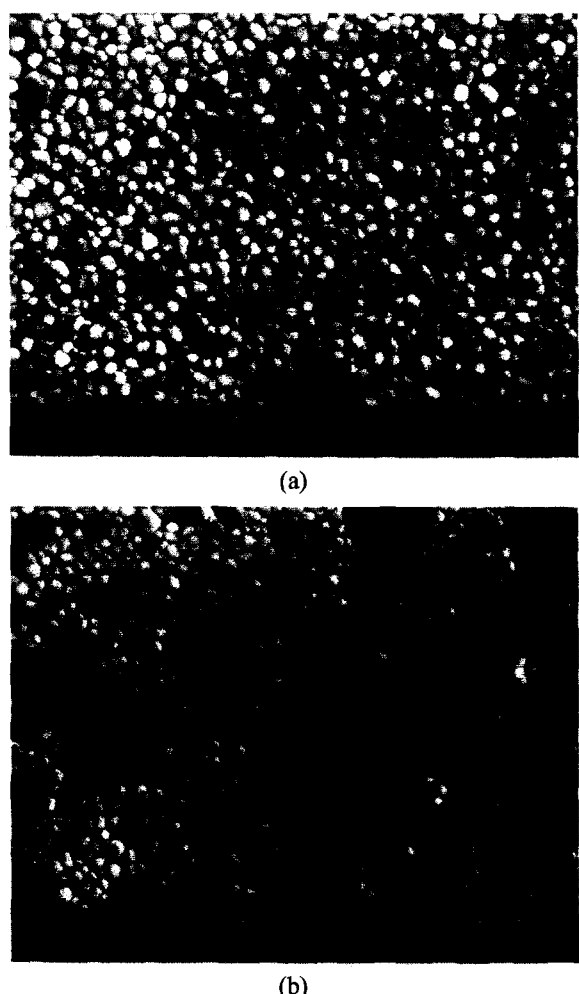


Fig. 2. Scanning electron micrographs of (a) 3Y-TZP and (b) 3Y-TZP/20 vol% 2.8  $\mu\text{m}$   $\text{Al}_2\text{O}_3$ .

제하는 것으로 Fig. 1에서 관찰되었다. 그러나,  $\text{Al}_2\text{O}_3$  입자에 의한 3Y-TZP의 정방정 지르코니아의 결정립 크기를 감소시키는 현상은 Fig. 2에서 보는 것처럼 관찰되지 않았다. Fig. 2의 3Y-TZP와 3Y-TZP/ $\text{Al}_2\text{O}_3$  복합체의 결정립 크기는 각각  $0.65 \mu\text{m}$ ,  $0.80 \mu\text{m}$ 이었다. 3Y-TZP와 3Y-TZP/ $\text{Al}_2\text{O}_3$  복합체의 단사정 양이 온도가 증가함에 따라 증가하였다. 열처리 온도가  $200^\circ\text{C}$ 로 증가함에 따라 상 안정성에 대한 알루미나의 첨가 효과는 산소공급의 확산에 필요한 열적 에너지가 충분하기 때문에 감소하는 것이 관찰되었다. 열처리 온도가  $250^\circ\text{C}$ 일 때는 3Y-TZP와 3Y-TZP/ $\text{Al}_2\text{O}_3$  복합체는 알루미나 첨가량에 관계없이 정방정 상이 거의 단사정으로 상전이에 의한 부피팽창으로 인하여 시편이 파괴가 되었다. 반면에, (Y,Nb)-TZP와 (Y,Nb)-TZP/ $\text{Al}_2\text{O}_3$  복합체는  $250^\circ\text{C}$ 의 열처리 온도에서도 (Y,Nb)-TZP의 내재된 상 안정성에 의하여 정방정 상이 유지되었다.<sup>7,19)</sup>

Y-Ce-PSZC와 Y-Tb-PSZC의 두 개의 {101}와 {200} 불완전 극점도 측정 결과가 Figs. 3과 4에 나타나 있다. 극점도 측정은  $5^\circ$  간격으로  $70^\circ$ 까지 tilting을 하면서 측정하였다. Fig. 3에서 보는 것처럼 Y-Ce-PSZC는 정방정 격자가 [101] 방향으로 성장되었으며, Y-Tb-PSZC는 [200] 방향에  $7^\circ$ 정도 기울어져 성장한 것이 Fig. 4에서 관찰되었다. 극점도 실험결과, 두 시편 모두 단결정이었다. 오토클레이브의  $150\sim250^\circ\text{C}$  온도에서 5시간 열처리를 한 후 X-선 회절 분석을 한 결과, 두 시편 모두 정방정 상이 유지되었다.

최근까지 보고된 상 안정성 억제방법은 (1) 결정립 크기 제어(grain size refinement), (2) 안정화제 첨가, (3) 복합체 제조 등 세 가지 방법만이 보고되었으나 첨가제의 양이 0.5% 이하로 작게 첨가 할 지라도 단결정으로 제조하면 상 안정성이 유지된다는 것이 관찰되었다. (Y,Nb)-TZP/ $\text{Al}_2\text{O}_3$  복합체는 우수한 상 안정성<sup>18)</sup>과 생체적합성<sup>17)</sup>이 관찰되지만 강

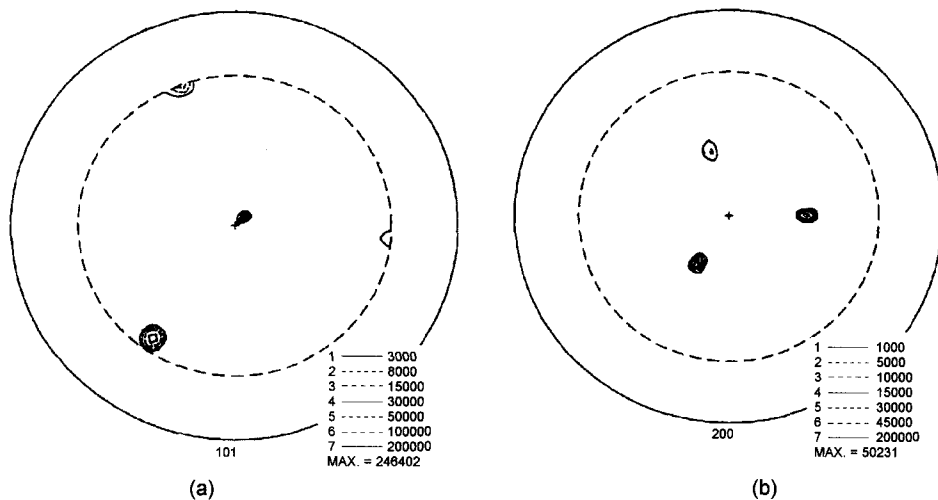


Fig. 3. (a) {101} and (b) {200} pole figures of Y-Ce-PSZC.

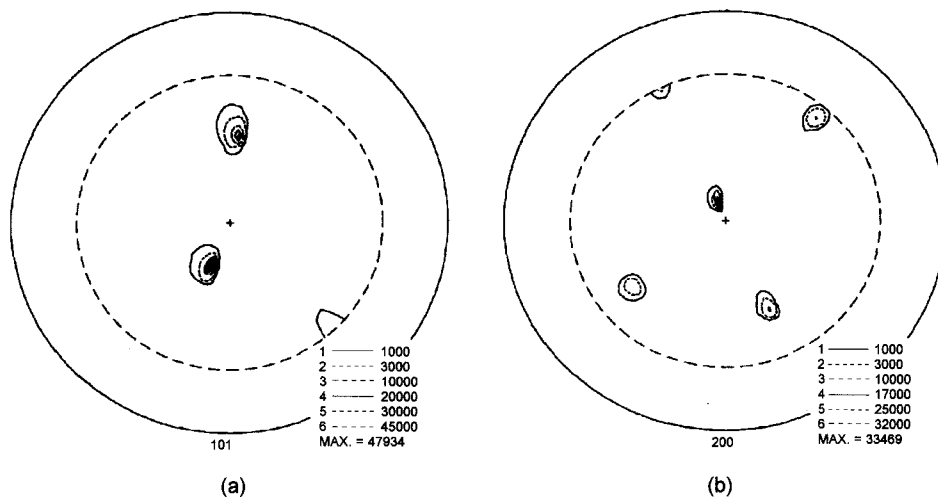


Fig. 4. (a) {101} and (b) {200} pole figures of Y-Tb-PSZC.

**Table 1.** Properties of Zirconia Ceramics

Materials	Density (g/cm <sup>3</sup> )	Strength (MPa)	Toughness (MPa · m <sup>1/2</sup> )
3Y-TZP	6.09	850 <sup>a</sup>	6.1 <sup>c</sup> [ref. 18]
(Y,Nb)-TZP	5.95	480 <sup>a</sup>	5.9 <sup>c</sup> [ref. 7]
(Y,Nb)-TZP/Al <sub>2</sub> O <sub>3</sub>	5.53	700 <sup>a</sup>	8.1 <sup>c</sup> [ref. 11]
Y-Ce-PSCZ	6.07	1197 <sup>b</sup>	10.0 <sup>d</sup> [ref. 14]
Y-Tb-PSCZ	6.06	1698 <sup>b</sup>	10.7 <sup>d</sup> [ref. 14]

<sup>a</sup>biaxial strength<sup>b</sup>three-point bending strength<sup>c</sup>indentation-strength method<sup>d</sup>SENB

도가 상용 3Y-TZP의 850 MPa<sup>18)</sup> 보다 작은 문제점이 있다. 하지만, 단결정으로 성장시킨 시편들은 우수한 기계적 특성<sup>14)</sup> (Table 1)과 생체 적합성<sup>13)</sup>뿐만 아니라 파괴인성이 감소하지 않으면서 상 안정성을 유지하기 때문에 구조재료 및 생체재료 분야에 응용이 가능하다. 특히, 의료용 소재(medical device)로 사용 전 120~135°C의 온도에서 20~30분간 오토클레이브에서 멸균작업(sterilization)을 거쳐야 하기 때문에 단결정으로 성장시킨 시편들은 기계적 특성 및 상 안정성이 우수하므로 의료용 칼(scapel) 및 임플란트(implant)등 생체재료로 사용이 가능한 것으로 사료된다.

#### 4. 결 론

정방정 지르코니아 단결정(PSZC)을 skull melting법을 이용하여 제조하여 4 MPa의 수증기 분위기하의 오토클레이브에서 150~250°C에서 5시간 열처리하여 열수 상 안정성을 조사하였다. 극점도 측정결과 Y-Ce-PSZC와 Y-Tb-PSZC는 단결정이었으며, 우수한 기계적 특성<sup>14)</sup>과 생체적 특성<sup>13)</sup>을 갖는 Y-Ce-PSZC와 Y-Tb-PSZC는 열처리 후에도 정방정 상이 유지되는 우수한 열수 상 안정성이 관찰되었다. 따라서, 단결정 제조가 지르코니아의 저온열화 현상을 억제하는 새로운 방법으로 관찰되었다.

#### 감사의 글

본 연구는 보건복지부 보건의료기술연구개발사업의 지원에 의하여 이루어진 것임(01-PJ4-PG4-01VN02-0036).

#### REFERENCES

- M. J. Readey and C. L. McCallen, "Microstructure, Flaw Tolerance and Reliability of Ce-TZP and Y-TZP Ceramics," *J. Am. Ceram. Soc.*, **78**, 2769-2776 (1995).
- J. Li, A. Kawasaki and R. Watanabe, "R-curve Determination of 3Y-PSZ by the Indentation Strength-in-bending Method," *J. Ceram. Soc. Jpn.*, **105**, 88-90 (1997).
- R. M. Anderson and L. M. Braun, "Technique for the R-curve Determination of Y-TZP Using Indentation-produced Flaws," *J. Am. Ceram. Soc.*, **73**, 3059-3062 (1990).
- S. Lawson, "Environmental Degradation of Zirconia Ceramics," *J. Eur. Ceram. Soc.*, **15**, 485-502 (1995).
- M. Hirano and H. Inada, "Fabrication and Properties of (Y,Ce)-TZP/Al<sub>2</sub>O<sub>3</sub> and Y-TZP/Al<sub>2</sub>O<sub>3</sub> Composites from Fine Powder Prepared by a Hydrolysis Technique," *J. Ceram. Soc. Jpn.*, **99**, 124-130 (1991).
- D-J. Kim, "Influence of Aging Environment on Low-temperature Degradation of Tetragonal Zirconia Alloys," *J. Eur. Ceram. Soc.*, **17**, 897-903 (1997).
- D. Y. Lee, D-J. Kim and D-H. Cho, "Low-temperature Phase Stability and Mechanical Properties of Y<sub>2</sub>O<sub>3</sub> and Nb<sub>2</sub>O<sub>5</sub> Co-doped Tetragonal Zirconia Polycrystal Ceramics," *J. Mater. Sci. Lett.*, **17**, 185-187 (1998).
- D. Y. Lee, J-W. Jang and D-J. Kim, "Raman Spectral Characterization of Existing Phases in the ZrO<sub>2</sub>-Y<sub>2</sub>O<sub>3</sub>-Nb<sub>2</sub>O<sub>5</sub> System," *Ceram. Intl.*, **27**, 291-298 (2001).
- P. Li, I-W. Chen and J. E. Penner-Hahn, "Effect of Dopants on Zirconia Stabilization-an X-ray Absorption Study: III, Charge-compensating Dopants," *J. Am. Ceram. Soc.*, **74**, 1289-1295 (1994).
- D. Y. Lee, D-J. Kim, D-H. Cho and M-H. Lee, "Effect of Nb<sub>2</sub>O<sub>5</sub> and Y<sub>2</sub>O<sub>3</sub> Alloying on the Mechanical Properties of TZP Ceramics," *Ceram. Intl.*, **24**, 461-465 (1998).
- D. Y. Lee and D-J. Kim, "Strength and Fracture Toughness of Isostatically Hot-pressed (Y,Nb)-TZP/Al<sub>2</sub>O<sub>3</sub> Composites," *J. Mater. Sci. Lett.*, **19**, 1233-1235 (2000).
- G. A. Gogotsi, V. I. Galenko, B. A. Ozerskii, E. E. Lomonova, V. A. Myzina, M. A. Vishnyakova and V. F. Kalabukhova, "Strength and Crack Resistance of Zirconium Dioxide Crystals Containing Yttrium and Terbium Oxides," *Refractories*, **34**, 247-358 (1993).
- G. A. Gogotsi, E. E. Lomonova, Y. A. Furmanov and I. M. Savitskaya, "Zirconia Crystals Suitable for Medicine: 1. Implants," *Ceram. Intl.*, **20**, 343-348 (1994).
- G. A. Gogotsi and D. Yu. Ostrovoy, "Mechanical Behaviour of Partially Stabilized Zirconia Crystals with Terbia and Ceria Additives," *J. Eur. Ceram. Soc.*, **15**, 1177-1184 (1995).
- R. C. Garvie and P. S. Nicholson, "Phase Analysis in Zirconia Systems," *J. Am. Ceram. Soc.*, **67**, 303-305 (1972).
- M. J. Mendelson, "Average Grain Size in Polycrystalline Ceramics," *J. Am. Ceram. Soc.*, **52**(8), 443-446 (1969).
- D-J. Kim, M-H. Lee, D. Y. Lee and J-S. Han, "Mechanical Properties, Phase Stability and Biocompatibility of (Y,Nb)-TZP/Al<sub>2</sub>O<sub>3</sub> Composite Abutments for Dental Implant," *J. Biomed. Mater. Res.*, **53**, 438-443 (2000).
- D. Y. Lee, D-J. Kim, J-W. Jang, D-W. Choi and S-J. Lee, "Phase Stability of (Y,Nb)-TZP/Composites under Low Temperature Hydrothermal Conditions," *Mater. Lett.*, **39**, 221-226 (1999).
- J-W. Jang, D-J. Kim and D. Y. Lee, "Size Effect of Trivalent Oxides on Low Temperature Phase Stability of 2Y-TZP," *J. Mater. Sci.*, **36**(22), 5391-5395 (2001).